

# chapter 4 : Forms of the dynamic equations

📅 시작 날짜 --> 미팅 날짜

@2022년 9월 22일 → 2022년 10월 6일

## Introduction

- chapter 3 - kinematics

챕터 3에서는 kinematics적으로 시스템을 다뤘다. ⇒ DOF가 모두 specified, known 임.  
따라서, 위속가를 구할때, force analysis가 필요없다.

- chapter 4 - dynamics

챕터 4부터는 DOF가 1개 이상 unknown이 되면서 force analysis가 필수적이다.  
이때, 얻어야 하는 방정식의 수는 미지수의 개수와 같아야 한다.

- unconstrained motion, constrained motion

unconstrained motion은 시스템의 운동방정식 (EOM)을 Newton-Euler equation으로  
constrained motion은 coordinate 수에 따른 다른 dynamic equation이 필요하다.

constrained 중에 어떤 방정식을 쓰면 constraint force term으로, 어떤건 dof의 term으로 나옴.

- redundant(불필요한) coordinate VS terms of dof

redundant coordinate는 sparse matrix (0이 많은 행렬)에 좋음 (sparse 부족한)  
terms of DOF로 나오는 식은 inertia와 힘의 계수가 복잡한 행렬에 좋음.

- Dynamic equation의 종류

(1) D'Alembert's principle

구속방정식의 수가 필요한 개수 보다 더 많이 나오는 경우가 있다.

(2) matrix formulations 3 개

augmented formulation, embedding technique, amalgamated formulation

(3) open-system, closed-chain system

▼ 4.1 D'Alembert's Principle / 178 ⇒ 달랑베르 : force+moment 전체의 외력과 내력이 같다.

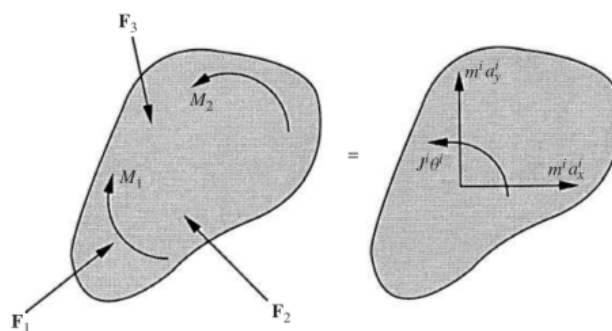
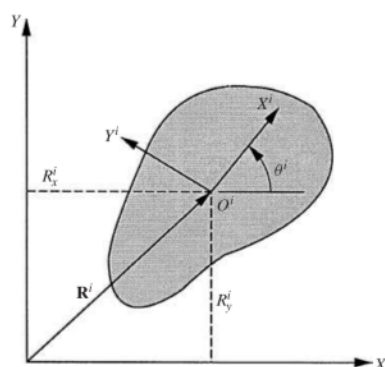


Figure 4.2 D'Alembert's principle

unconstrained planar motion of a rigid body를 위와 같이 나타낼 수 있다.

3개의 독립좌표를 사용함.

reference point를 바디의 질량 중심으로 잡는다면, 힘을 아래와 같이 나타낼 수 있다.

$$\left. \begin{aligned} m^i a_x^i &= F_x^i \\ m^i a_y^i &= F_y^i \\ J^i \ddot{\theta}^i &= M^i \end{aligned} \right\}$$

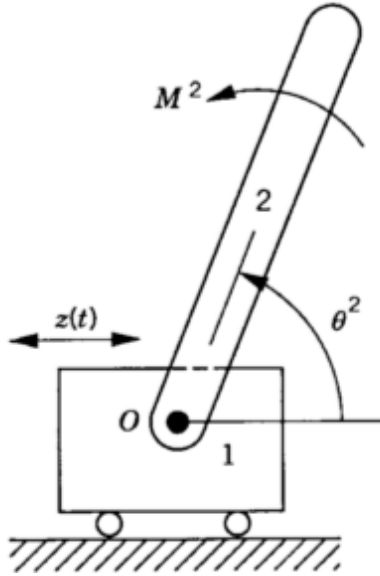
x,y 방향에 대한 식을 Newton's equation이라하고 inertia force라 함.

방향에 대한 식을 Euler's equation이라하고, inertia moment라 함.

⇒ D'Alembert's principle에 따르면 모든 inertia/effective force와 moment가 external force와 같아야 한다.

## D'Alembert's principle 예제

만약, external force와 moment가 주어 진다면, forward dynamics로 해결한다.



위 움직이는 추를 단 base에서 각 Body 별 내력과 외력의 동적평형 상태를 diagram으로 나타내면 아래와 같다.

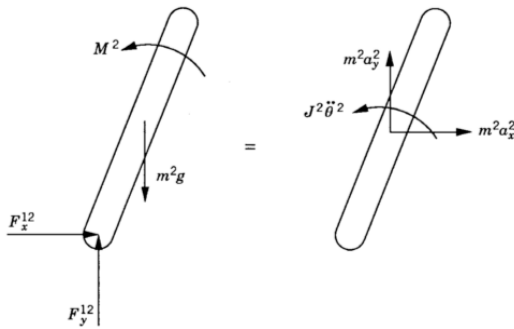


Figure 4.4 Dynamic equilibrium

위 시스템의 inertia와 external force, moment를 정리하면 아래와 같다.

$$\begin{aligned} m^2 a_x^2 &= F_x^{12} \\ m^2 a_y^2 &= F_y^{12} - m^2 g \\ J^2 \ddot{\theta}^2 &= M^2 + F_x^{12} \frac{l}{2} \sin \theta^2 - F_y^{12} \frac{l}{2} \cos \theta^2 \end{aligned}$$

위 시스템을 뉴턴법칙으로 direct하게 나타낸 것.

## Newton 제 2법칙으로 solve

(1) 현재 문제에서는 5개의 unknown이 있다.

$$a_x^2, a_y^2, \ddot{\theta}^2, F_x^{12}, \text{ and } F_y^{12}.$$

따라서 외력=내력 식 3개에 추가적으로 2개의 식이 더 필요하다.

(2) Rod와 Base 사이에 있는 Pin joint의 구속방정식을 사용한다.

$$R_x^2 = z(t) + \frac{l}{2} \cos \theta^2, \quad R_y^2 = \frac{l}{2} \sin \theta^2$$

(3) 2번 바디의 위치 식을 2번 미분함으로  $a_x^2$ 와  $a_y^2$ 를 구한다.

$$\begin{aligned} \dot{R}_x^2 &= \dot{z}(t) - \dot{\theta}^2 \frac{l}{2} \sin \theta^2, \quad \dot{R}_y^2 = \dot{\theta}^2 \frac{l}{2} \cos \theta^2 \\ a_x^2 &= \ddot{R}_x^2 = \ddot{z}(t) - \ddot{\theta}^2 \frac{l}{2} \sin \theta^2 - (\dot{\theta}^2)^2 \frac{l}{2} \cos \theta^2 \\ a_y^2 &= \ddot{R}_y^2 = \ddot{\theta}^2 \frac{l}{2} \cos \theta^2 - (\dot{\theta}^2)^2 \frac{l}{2} \sin \theta^2 \end{aligned}$$

(4) 추가된 2개의 방정식을 이용해 unknown들을 풀어낸다.

$$\begin{aligned} m^2 \left[ \ddot{z}(t) - \ddot{\theta}^2 \frac{l}{2} \sin \theta^2 - (\dot{\theta}^2)^2 \frac{l}{2} \cos \theta^2 \right] &= F_x^{12} \\ m^2 \left[ \ddot{\theta}^2 \frac{l}{2} \cos \theta^2 - (\dot{\theta}^2)^2 \frac{l}{2} \sin \theta^2 \right] &= F_y^{12} - m^2 g \\ J^2 \ddot{\theta}^2 &= M^2 + F_x^{12} \frac{l}{2} \sin \theta^2 - F_y^{12} \frac{l}{2} \cos \theta^2 \end{aligned}$$

$F_x^{12}$ 와  $F_y^{12}$ 를 모멘트 식에 대입해 정리하면,

$$\left[ J^2 + m^2 \left( \frac{l}{2} \right)^2 \right] \ddot{\theta}^2 = M^2 - m^2 g \frac{l}{2} \cos \theta^2 + m^2 \ddot{z} \frac{l}{2} \sin \theta^2$$

## 위 풀이를 달랑베르로

- 좌측은 뉴턴식, 오일러식을 각자 품

달랑베르는 전체 inertia 모멘트가 전체 external 모멘트와 같다.

$$(M_e^2)_O = J^2 \ddot{\theta}^2 - m^2 a_x^2 \frac{l}{2} \sin \theta^2 + m^2 a_y^2 \frac{l}{2} \cos \theta^2$$

$$(M_a^2)_O = M^2 - m^2 g \frac{l}{2} \cos \theta^2$$

e : effective moment = inertia moment

a : applied moment = external moment에서

원점으로부터의 inertia, external을 구하는 것이므로 자동으로 x,y방향도 고려됨.

한번에 식을 나타내면,

$$(M_e^2)_O = (M_a^2)_O$$

$$J^2 \ddot{\theta}^2 - m^2 a_x^2 \frac{l}{2} \sin \theta^2 + m^2 a_y^2 \frac{l}{2} \cos \theta^2 = M^2 - m^2 g \frac{l}{2} \cos \theta^2$$

$$\left[ J^2 + m^2 \left( \frac{l}{2} \right)^2 \right] \ddot{\theta}^2 = M^2 - m^2 g \frac{l}{2} \cos \theta^2 + m^2 \ddot{z} \frac{l}{2} \sin \theta^2$$

## 결론

위 예제는 D'Alembert's 원리를 dynamic condition을 얻는데 적용한 예이다.

추가로, applied force와 moment가 주어진 값이면, 결과 동역학 방정식은 linear system이다.

linear system of algebraic인 경우, 가속도와 joint reaction force 식을 통해 해결할 수 있다.

▼ 4.2 D'Alembert's Principle and Newton-Euler Equations / 182 ⇒ 달랑베르로 newton, euler 방정식 유도가능

- 뉴턴-오일러 방법을 도출하기 위해 달랑베르 원리를 사용하는 방법.

## Newton Equation 달랑베르로 얻기

body i의 질량은  $\rho^i dV^i$ 이다. ( $\rho$ 는 밀도,  $dV$ 는 극소부피)

position vector가  $r^i$ 라면, 내력(inertia force)는  $(\rho^i dV^i)\ddot{r}^i$ 이다.

즉, 뉴턴 방정식은 아래와 같이 나타낼 수 있다.

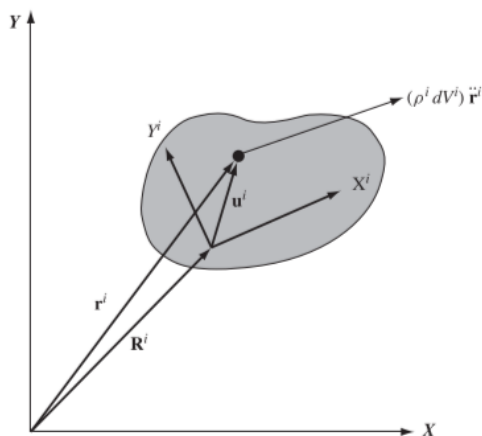


Figure 4.5 Inertia forces of the rigid body

$$\int_{V^i} \rho^i \ddot{r}^i dV^i = F^i$$

$F^i$ 는 body에 적용되는 총 합력.

임의의 점  $\ddot{r}^i$  에서 가속도를 absolute acceleration으로 나타내는 법

$$\ddot{r}^i = \ddot{R}^i + \alpha^i \times u^i + \omega^i \times (\omega^i \times u^i)$$

$\ddot{R}^i$ 는 그 점의 Global position vector of the reference point

[달랑베르로 뉴턴 방정식 도출]

(1) 위 식을 이용하면, global position  $u^i$ 를  $A^i \bar{u}^i$ 로 나타낼 수 있다.

$$\int_{V^i} \rho^i u^i dV^i = \int_{V^i} \rho^i A^i \bar{u}^i dV^i = A^i \int_{V^i} \rho^i \bar{u}^i dV^i = 0$$

[질량중심 정의]

질량x거리=모멘트인데 질량중심은 모멘트가 0인 지점이다.

(2)  $\ddot{\mathbf{r}}^i = \ddot{\mathbf{R}}^i + \dots$ 식을 (1) 식에 대입하면 아래와 같다.

⇒ 각속도와 각가속도는 임의의 점 position vector와 독립이므로

$$\int_{V^i} \rho^i \ddot{\mathbf{R}}^i dV^i = \mathbf{F}^i$$

(3) 앞서 질량은  $\rho^i dV^i$ 에서 뉴턴 제2법칙이 도출된다.

$$m^i = \int_{V^i} \rho^i dV^i$$

$$m^i \ddot{\mathbf{R}}^i = \mathbf{F}^i$$

## Euler equation 달랑베르로 얻기

모멘트의 내력=외력 (달랑베르)

참고할 식

$$\int_{V^i} \rho^i \mathbf{u}^i \times \ddot{\mathbf{r}}^i dV^i = \mathbf{M}_R^i$$

$$\mathbf{M}_R^i = [0 \quad 0 \quad M^i]^T$$

$$\boldsymbol{\alpha}^i = \ddot{\theta}^i \mathbf{k} \text{ and } \mathbf{u}^i = [\bar{x}^i \quad \bar{y}^i \quad 0]^T$$

위는  $\mathbf{u}^i$ 와  $\boldsymbol{\omega}^i \times (\boldsymbol{\omega}^i \times \mathbf{u}^i)$ 는 평행하므로

mass moment(관성모멘트) 공식

$$\int_{V^i} \rho^i \mathbf{u}^i \times (\boldsymbol{\alpha}^i \times \mathbf{u}^i) dV^i = \mathbf{M}_R^i$$

$$J^i = \int_{V^i} \rho^i ((\bar{x}^i)^2 + (\bar{y}^i)^2) dV^i$$

위 외적을 참고할 식에 따라 scalar로 나타내면,

$$\int_{V^i} \rho^i ((\bar{x}^i)^2 + (\bar{y}^i)^2) \ddot{\theta}^i dV^i = M^i$$

마지막으로, 관성모멘트 공식에 의해 J로 정리.

$$J^i \ddot{\theta}^i = M^i$$

오일러 방정식을 얻을 수 있다.

#### ▼ 4.3 Constrained Dynamics / 186 $M\ddot{q} = Q_e + Q_c$ ( $Q_c$ 는 *constraint force*)

- selection of coordinate / the form of the equation

효율, 일반화, 식 내는데 걸리는 시간 등 위 2개의 선정은 computational dynamics에서 중요한 요소이다.

- independent constraint forces의 수는 independent constraint equation의 수와 항상 같다.

### 예시 문제

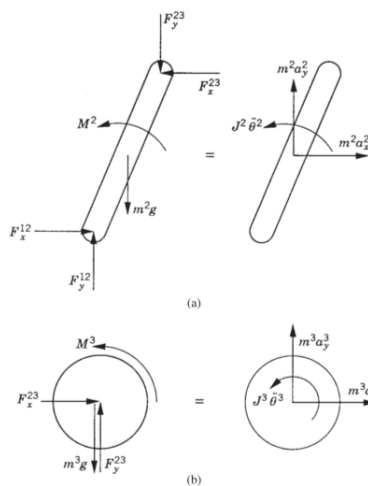
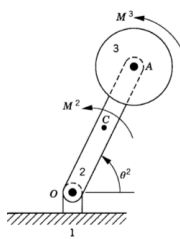


Figure 4.7 Dynamic equilibrium

$$\left. \begin{aligned} m^2 a_x^2 &= F_x^{12} - F_x^{23} \\ m^2 a_y^2 &= F_y^{12} - F_y^{23} - m^2 g \\ J^2 \ddot{\theta}^2 &= M^2 + F_x^{12} \frac{l}{2} \sin \theta^2 - F_y^{12} \frac{l}{2} \cos \theta^2 \\ &\quad + F_x^{23} \frac{l}{2} \sin \theta^2 - F_y^{23} \frac{l}{2} \cos \theta^2 \\ m^3 a_x^3 &= F_x^{23} \\ m^3 a_y^3 &= F_y^{23} - m^3 g \\ J^3 \ddot{\theta}^3 &= M^3 \end{aligned} \right\}$$

위 시스템을  
동적평형을  
통해

direct하게  
뉴턴, 오일러  
방정식으로  
나타내보자.

뉴턴-오일러 방정식 도출한  
dynamic 식들 (6개)

10개의 unknowns

6개 가속도, 4개 반력

위 문제는 2자유도 시스템이다. 시스템을 자유도에 대해서 나타내면, (아래는  $C(q, t)$  구속방정식 2번 미분한 결과)

⇒ 공식은  $a = \ddot{R}$  + 아래식으로 임의의 고정된 점 가속도 공식이다.

!!!! 어떻게 나오지 모르겠음 !!!!!!!

$$\begin{aligned} \mathbf{a}^2 &= \begin{bmatrix} a_x^2 \\ a_y^2 \end{bmatrix} = \boldsymbol{\alpha}^2 \times \mathbf{u}_{CO}^2 + \boldsymbol{\omega}^2 \times (\boldsymbol{\omega}^2 \times \mathbf{u}_{CO}^2) \\ &= \ddot{\theta}^2 \frac{l}{2} \begin{bmatrix} -\sin \theta^2 \\ \cos \theta^2 \end{bmatrix} - (\dot{\theta}^2)^2 \frac{l}{2} \begin{bmatrix} \cos \theta^2 \\ \sin \theta^2 \end{bmatrix} \\ \mathbf{a}^3 &= \begin{bmatrix} a_x^3 \\ a_y^3 \end{bmatrix} = \boldsymbol{\alpha}^2 \times \mathbf{u}_{AO}^2 + \boldsymbol{\omega}^2 \times (\boldsymbol{\omega}^2 \times \mathbf{u}_{AO}^2) \\ &= \ddot{\theta}^2 l \begin{bmatrix} -\sin \theta^2 \\ \cos \theta^2 \end{bmatrix} - (\dot{\theta}^2)^2 l \begin{bmatrix} \cos \theta^2 \\ \sin \theta^2 \end{bmatrix} \end{aligned}$$

## General constrained multibody system matrix

$$\mathbf{M}\ddot{\mathbf{q}} = \mathbf{Q}_e + \mathbf{Q}_c$$

$\mathbf{Q}_e$  는 applied force vector

$\mathbf{Q}_c$  는 constraint force vector

$\mathbf{M}$  은 시스템의 질량 matrix

$\ddot{\mathbf{q}}$  는 system coordinate vector

위 예제에서 알 수 있듯, 10개의 unknown이 있어도, 6개의 가속도 식 + 4개의 반력식으로 구할 수 있듯

위처럼 나타낼 수 있다.

- Forward dynamics의 경우

unknown이 가속도와 constraint forces ( $\mathbf{Q}_c$ )이다.

$\mathbf{Q}_e$  는 주어진다.

independent constraint forces의 수는 시스템의 motion을 나타내는 algebraic equation의 수와 같다.

algebraic equation은 chapter 3에서 아래와 같다.

$$\mathbf{C}(\mathbf{q}, t) = \mathbf{0}$$

- 위 예제에 적용해 constraint equation 도출 과정.



$$\mathbf{q} = [R_x^2 \quad R_y^2 \quad \theta^2 \quad R_x^3 \quad R_y^3 \quad \theta^3]^T$$

$$\mathbf{M} = \begin{bmatrix} m^2 & 0 & 0 & 0 & 0 & 0 \\ 0 & m^2 & 0 & 0 & 0 & 0 \\ 0 & 0 & J^2 & 0 & 0 & 0 \\ 0 & 0 & 0 & m^3 & 0 & 0 \\ 0 & 0 & 0 & 0 & m^3 & 0 \\ 0 & 0 & 0 & 0 & 0 & J^3 \end{bmatrix}$$

The vector of applied forces  $\mathbf{Q}_e$  and the vector of constraint forces  $\mathbf{Q}_c$  can also be defined using Eq. 13 as

$$\mathbf{Q}_e = \begin{bmatrix} 0 \\ -m^2 g \\ M^2 \\ 0 \\ -m^3 g \\ M^3 \end{bmatrix}, \quad \mathbf{Q}_c = \begin{bmatrix} F_x^{12} - F_x^{23} \\ F_y^{12} - F_y^{23} \\ F_x^{12} \frac{l}{2} \sin \theta^2 - F_y^{12} \frac{l}{2} \cos \theta^2 + F_x^{23} \frac{l}{2} \sin \theta^2 - F_y^{23} \frac{l}{2} \cos \theta^2 \\ F_x^{23} \\ F_y^{23} \\ 0 \end{bmatrix}$$

위 6개의 식은 Direct한 Newton-Euler equation으로 유도되었고,

추가적인 4개의 방정식은 reaction force(joint equation)으로 유도

$$\mathbf{C} = \begin{bmatrix} \mathbf{R}^2 + \mathbf{A}^2 \bar{\mathbf{u}}_O^2 \\ \mathbf{R}^2 + \mathbf{A}^2 \bar{\mathbf{u}}_A^2 - \mathbf{R}^3 \end{bmatrix} = \mathbf{0}$$

$$\bar{\mathbf{u}}_O^2 = \begin{bmatrix} -l/2 \\ 0 \end{bmatrix}, \quad \bar{\mathbf{u}}_A^2 = \begin{bmatrix} l/2 \\ 0 \end{bmatrix}, \quad \mathbf{A}^2 = \begin{bmatrix} \cos \theta^2 & -\sin \theta^2 \\ \sin \theta^2 & \cos \theta^2 \end{bmatrix}$$

$$\mathbf{C} = \begin{bmatrix} R_x^2 - \frac{l}{2} \cos \theta^2 \\ R_y^2 - \frac{l}{2} \sin \theta^2 \\ R_x^2 + \frac{l}{2} \cos \theta^2 - R_x^3 \\ R_y^2 + \frac{l}{2} \sin \theta^2 - R_y^3 \end{bmatrix}$$

## 결론

$$\mathbf{M} \ddot{\mathbf{q}} = \mathbf{Q}_e + \mathbf{Q}_c$$

$$\mathbf{C}(\mathbf{q}, t) = \mathbf{0}$$

위 두 matrix를 가속도와 joint 반력에 대해서 푸는것은 동역학에서 굉장히 중요하고, 여러 풀이법이 있다.

⇒ 이 책에서는 (1) augmented formulation (2) embedding technique (3) amalgamated formulation 3개를 소개한다.

#### ▼ 4.4 Augmented Formulation / 190

- augmented formulation 특징

(1) in terms of redundant coordinate 이다.

(2) differential EOM을 unknown 가속도와 constraint force를 풀기위해 사용함.

(3) sparse matrix (0이 많은 행렬)에 좋음 ⇒ 복잡하면 훨씬 어려운 알고리즘을 써야하는 불편함 있음 (다음챕터 자세히)

- augmented formulation 유도

$$\left. \begin{aligned} m^2 a_x^2 &= F_x^{12} - F_x^{23} \\ m^2 a_y^2 &= F_y^{12} - F_y^{23} - m^2 g \\ J^2 \ddot{\theta}^2 &= M^2 + F_x^{12} \frac{l}{2} \sin \theta^2 - F_y^{12} \frac{l}{2} \cos \theta^2 \\ &\quad + F_x^{23} \frac{l}{2} \sin \theta^2 - F_y^{23} \frac{l}{2} \cos \theta^2 \\ m^3 a_x^3 &= F_x^{23} \\ m^3 a_y^3 &= F_y^{23} - m^3 g \\ J^3 \ddot{\theta}^3 &= M^3 \end{aligned} \right\} \quad \begin{aligned} \mathbf{a}^2 &= \begin{bmatrix} a_x^2 \\ a_y^2 \end{bmatrix} = \boldsymbol{\alpha}^2 \times \mathbf{u}_{CO}^2 + \boldsymbol{\omega}^2 \times (\boldsymbol{\omega}^2 \times \mathbf{u}_{CO}^2) \\ &= \ddot{\theta}^2 \frac{l}{2} \begin{bmatrix} -\sin \theta^2 \\ \cos \theta^2 \end{bmatrix} - (\dot{\theta}^2)^2 \frac{l}{2} \begin{bmatrix} \cos \theta^2 \\ \sin \theta^2 \end{bmatrix} \\ \mathbf{a}^3 &= \begin{bmatrix} a_x^3 \\ a_y^3 \end{bmatrix} = \boldsymbol{\alpha}^3 \times \mathbf{u}_{AO}^3 + \boldsymbol{\omega}^3 \times (\boldsymbol{\omega}^3 \times \mathbf{u}_{AO}^3) \\ &= \ddot{\theta}^3 l \begin{bmatrix} -\sin \theta^3 \\ \cos \theta^3 \end{bmatrix} - (\dot{\theta}^3)^2 l \begin{bmatrix} \cos \theta^3 \\ \sin \theta^3 \end{bmatrix} \end{aligned}$$

위 2 식을 잘 combined 하면,

$$\begin{bmatrix} m^2 & 0 & 0 & 0 & 0 & 0 & -1 & 0 & 1 & 0 \\ 0 & m^2 & 0 & 0 & 0 & 0 & 0 & -1 & 0 & 1 \\ 0 & 0 & J^2 & 0 & 0 & 0 & -\frac{l}{2} \sin \theta^2 & \frac{l}{2} \cos \theta^2 & -\frac{l}{2} \sin \theta^2 & \frac{l}{2} \cos \theta^2 \\ 0 & 0 & 0 & m^3 & 0 & 0 & 0 & 0 & -1 & 0 \\ 0 & 0 & 0 & 0 & m^3 & 0 & 0 & 0 & 0 & -1 \\ 0 & 0 & 0 & 0 & 0 & J^3 & 0 & 0 & 0 & 0 \\ -1 & 0 & -\frac{l}{2} \sin \theta^2 & 0 & 0 & 0 & 0 & 0 & 0 & 0 \\ 0 & -1 & \frac{l}{2} \cos \theta^2 & 0 & 0 & 0 & 0 & 0 & 0 & 0 \\ 0 & 0 & -l \sin \theta^2 & -1 & 0 & 0 & 0 & 0 & 0 & 0 \\ 0 & 0 & l \cos \theta^2 & 0 & -1 & 0 & 0 & 0 & 0 & 0 \end{bmatrix} \times \begin{bmatrix} a_x^2 \\ a_y^2 \\ \ddot{\theta}^2 \\ a_x^3 \\ a_y^3 \\ \ddot{\theta}^3 \\ F_x^{12} \\ F_y^{12} \\ F_x^{23} \\ F_y^{23} \end{bmatrix} = \begin{bmatrix} 0 \\ -m^2 g \\ M^2 \\ 0 \\ -m^3 g \\ M^3 \\ (\dot{\theta}^2)^2 \frac{l}{2} \cos \theta^2 \\ (\dot{\theta}^2)^2 \frac{l}{2} \sin \theta^2 \\ (\dot{\theta}^2)^2 l \cos \theta^2 \\ (\dot{\theta}^2)^2 l \sin \theta^2 \end{bmatrix}$$

위와 같이 Augmented fomulation을 정리할 수 있다.

▼ 4.5 Lagrange Multipliers / 191 : 달랑베르를 사용하여 joint reaction force를 안 구해도 됨 (구속방정식으로 구함)

augmented fomulation은 Lagrangian dynamics에 기초했음.

- Lagrangian dynamics

(1) joint를 나누어 생각할 필요 없음. 실제 반력을 이미 고려한 것

- 증명과정 (이전 자유도 2개 rod, roller 예제)

(1) 자코비안

$$\mathbf{C}_q = \begin{bmatrix} 1 & 0 & \frac{l}{2} \sin \theta^2 & 0 & 0 & 0 \\ 0 & 1 & -\frac{l}{2} \cos \theta^2 & 0 & 0 & 0 \\ 1 & 0 & -\frac{l}{2} \sin \theta^2 & -1 & 0 & 0 \\ 0 & 1 & \frac{l}{2} \cos \theta^2 & 0 & -1 & 0 \end{bmatrix}$$

(2) 자코비안 matrix에 genralized coordinate를 두 번 미분한 벡터를 곱하면  $Q_d$ 이다.

$$\mathbf{C}_q \ddot{\mathbf{q}} = \mathbf{Q}_d$$

(3) 1,2의 값을 대입해  $Q_d$ 를 구하면,

$$\mathbf{Q}_d = (\dot{\theta}^2)^2 \frac{l}{2} \begin{bmatrix} -\cos \theta^2 & -\sin \theta^2 & \cos \theta^2 & \sin \theta^2 \end{bmatrix}^T$$

- 결과

라그랑지 멀티플라이어를 아래와 같이 정의 (applied force 외력)

$F_x^{12}$ 는 joint 반력임.  $-F_x^{12}$ 는 applied force임. 외력과 반력은 반대로 들어감.

$$\boldsymbol{\lambda} = \begin{bmatrix} -F_x^{12} & -F_y^{12} & F_x^{23} & F_y^{23} \end{bmatrix}^T$$

M, 자코비안,  $\ddot{\mathbf{q}}$ , 라그랑지 멀티플라이어,  $Q_e, Q_d$ 를 통해 augmented formulation을 아래와 같이 나타냄

$$\begin{bmatrix} \mathbf{M} & \mathbf{C}_q^T \\ \mathbf{C}_q & \mathbf{0} \end{bmatrix} \begin{bmatrix} \ddot{\mathbf{q}} \\ \boldsymbol{\lambda} \end{bmatrix} = \begin{bmatrix} \mathbf{Q}_e \\ \mathbf{Q}_d \end{bmatrix}$$

$$\begin{bmatrix} m^2 & 0 & 0 & 0 & 0 & 0 & 1 & 0 & 1 & 0 \\ 0 & m^2 & 0 & 0 & 0 & 0 & 0 & 1 & 0 & 1 \\ 0 & 0 & J^2 & 0 & 0 & 0 & \frac{l}{2} \sin \theta^2 & -\frac{l}{2} \cos \theta^2 & -\frac{l}{2} \sin \theta^2 & \frac{l}{2} \cos \theta^2 \\ 0 & 0 & 0 & m^3 & 0 & 0 & 0 & 0 & -1 & 0 \\ 0 & 0 & 0 & 0 & m^3 & 0 & 0 & 0 & 0 & -1 \\ 0 & 0 & 0 & 0 & 0 & J^3 & 0 & 0 & 0 & 0 \\ 1 & 0 & \frac{l}{2} \sin \theta^2 & 0 & 0 & 0 & 0 & 0 & 0 & 0 \\ 0 & 1 & -\frac{l}{2} \cos \theta^2 & 0 & 0 & 0 & 0 & 0 & 0 & 0 \\ 1 & 0 & -\frac{l}{2} \sin \theta^2 & -1 & 0 & 0 & 0 & 0 & 0 & 0 \\ 0 & 1 & \frac{l}{2} \cos \theta^2 & 0 & -1 & 0 & 0 & 0 & 0 & 0 \end{bmatrix} \times \begin{bmatrix} \ddot{R}_x^2 \\ \ddot{R}_y^2 \\ \ddot{\theta}^2 \\ \ddot{R}_x^3 \\ \ddot{R}_y^3 \\ \ddot{\theta}^3 \\ -F_x^{12} \\ -F_y^{12} \\ F_x^{23} \\ F_y^{23} \end{bmatrix} = \begin{bmatrix} 0 \\ -m^2 g \\ M^2 \\ 0 \\ -m^3 g \\ M^3 \\ -(\dot{\theta}^2)^2 \frac{l}{2} \cos \theta^2 \\ -(\dot{\theta}^2)^2 \frac{l}{2} \sin \theta^2 \\ (\dot{\theta}^2)^2 \frac{l}{2} \cos \theta^2 \\ (\dot{\theta}^2)^2 \frac{l}{2} \sin \theta^2 \end{bmatrix}$$

따라서, 위의 위 간단한 matrix를 Lagrange multipliers에 대해 정리하면,

$$\mathbf{Q}_c = -\mathbf{C}_q^T \boldsymbol{\lambda}$$

- 라그랑지 멀티플라이어의 수는 구속방정식의 수와 같다. = dependent variable 의 수
- 라그랑지 멀티플라이어는 independent reaction force를 대체한다. (joint 무시하는 이유)
- 라그랑지 멀티플라이어는 unknown이다. joint로 안구하고, 구속방정식으로 자코비 안과  $\mathbf{Q}_d$ 를 통해 구한다.
- Newton 방법과 lagrangian의 가장 큰 차이는 newton은 반력을 사용. 라그랑지는 구속방정식만 사용함.

#### ▼ 4.6 Elimination of the Dependent Accelerations / 193 (임베딩의 base가 됨)

- embedding technique

dependent acceleration을 제거하기 위해 구속방정식을 사용한다.

종속 가속도란, 독립 가속도와  $\mathbf{Q}_c$  (constraint force)로 나타낼 수 있는 가속도이다.

- 구속방정식을 2번 미분한 식 (rod, roller 예제)

$$\begin{aligned}
\mathbf{a}^2 &= \begin{bmatrix} a_x^2 \\ a_y^2 \end{bmatrix} = \boldsymbol{\alpha}^2 \times \mathbf{u}_{CO}^2 + \boldsymbol{\omega}^2 \times (\boldsymbol{\omega}^2 \times \mathbf{u}_{CO}^2) \\
&= \ddot{\theta}^2 \frac{l}{2} \begin{bmatrix} -\sin \theta^2 \\ \cos \theta^2 \end{bmatrix} - (\dot{\theta}^2)^2 \frac{l}{2} \begin{bmatrix} \cos \theta^2 \\ \sin \theta^2 \end{bmatrix} \\
\mathbf{a}^3 &= \begin{bmatrix} a_x^3 \\ a_y^3 \end{bmatrix} = \boldsymbol{\alpha}^2 \times \mathbf{u}_{AO}^2 + \boldsymbol{\omega}^2 \times (\boldsymbol{\omega}^2 \times \mathbf{u}_{AO}^2) \\
&= \ddot{\theta}^2 l \begin{bmatrix} -\sin \theta^2 \\ \cos \theta^2 \end{bmatrix} - (\dot{\theta}^2)^2 l \begin{bmatrix} \cos \theta^2 \\ \sin \theta^2 \end{bmatrix}
\end{aligned}$$

위 식에서  $a^2$ 와  $a^3$ 는 independent term으로 나타낼 수 있으니 종속 가속도이다.

위 term들을 모두 제거해주면 아래 식이다.

$$\left. \begin{aligned}
-m^2 \frac{l}{2} \ddot{\theta}^2 \sin \theta^2 - F_x^{12} + F_x^{23} &= m^2 \frac{l}{2} (\dot{\theta}^2)^2 \cos \theta^2 \\
m^2 \frac{l}{2} \ddot{\theta}^2 \cos \theta^2 - F_y^{12} + F_y^{23} &= m^2 \frac{l}{2} (\dot{\theta}^2)^2 \sin \theta^2 - m^2 g \\
J^2 \ddot{\theta}^2 - F_x^{12} \frac{l}{2} \sin \theta^2 + F_y^{12} \frac{l}{2} \cos \theta^2 - F_x^{23} \frac{l}{2} \sin \theta^2 + F_y^{23} \frac{l}{2} \cos \theta^2 &= M^2 \\
-m^3 \ddot{\theta}^2 l \sin \theta^2 - F_x^{23} &= m^3 l (\dot{\theta}^2)^2 \cos \theta^2 \\
m^3 \ddot{\theta}^2 l \cos \theta^2 - F_y^{23} &= m^3 l (\dot{\theta}^2)^2 \sin \theta^2 - m^3 g \\
J^3 \ddot{\theta}^3 &= M^3
\end{aligned} \right\}$$

- Matrix form으로 변환

위 모든 등식들을 2개의 unkown 독립좌표  $\ddot{\theta}^2, \ddot{\theta}^3$ 과 4 개의 unknown reaction force에 대해서 나타내면,

$$\begin{bmatrix} a_{11} & 0 & -1 & 0 & 1 & 0 \\ a_{21} & 0 & 0 & -1 & 0 & 1 \\ a_{31} & 0 & a_{33} & a_{34} & a_{35} & a_{36} \\ a_{41} & 0 & 0 & 0 & -1 & 0 \\ a_{51} & 0 & 0 & 0 & 0 & -1 \\ 0 & a_{62} & 0 & 0 & 0 & 0 \end{bmatrix} \begin{bmatrix} \ddot{\theta}^2 \\ \ddot{\theta}^3 \\ F_x^{12} \\ F_y^{12} \\ F_x^{23} \\ F_y^{23} \end{bmatrix} = \begin{bmatrix} b_1 \\ b_2 \\ M^2 \\ b_4 \\ b_5 \\ M^3 \end{bmatrix} \quad \text{where}$$

$$\left. \begin{aligned}
a_{11} &= -m^2 \frac{l}{2} \sin \theta^2, \quad a_{21} = m^2 \frac{l}{2} \cos \theta^2, \quad a_{31} = J^2 \\
a_{41} &= -m^3 l \sin \theta^2, \quad a_{51} = m^3 l \cos \theta^2, \quad a_{62} = J^3 \\
a_{33} &= a_{35} = -\frac{l}{2} \sin \theta^2, \quad a_{34} = a_{36} = \frac{l}{2} \cos \theta^2
\end{aligned} \right\}$$

$$\left. \begin{aligned} b_1 &= m^2 \frac{l}{2} (\dot{\theta}^2)^2 \cos \theta^2 \\ b_2 &= m^2 \frac{l}{2} (\dot{\theta}^2)^2 \sin \theta^2 - m^2 g \\ b_4 &= m^3 l (\dot{\theta}^2)^2 \cos \theta^2 \\ b_5 &= m^3 l (\dot{\theta}^2)^2 \sin \theta^2 - m^3 g \end{aligned} \right\}$$

따라서, 종속 가속도로 이루어진 식을 unknown independent angular acceleration과 joint 반력으로 나타낼 수 있다.

종속가속도는 가속도레벨의 구속방정식에 의해 결정된다.

## Embedding technique Generalization

- 라그랑지 방법으로  $Q_c$ 를 나타내면

$$\mathbf{M}\ddot{\mathbf{q}} = \mathbf{Q}_e - \mathbf{C}_q^T \boldsymbol{\lambda}$$

- $\ddot{\mathbf{q}}$ 를 시스템 가속도와 독립가속도 사이 관계로 나타내면

$$\ddot{\mathbf{q}} = \mathbf{B}_i \ddot{\mathbf{q}}_i + \boldsymbol{\gamma}_i$$

$\mathbf{B}_i$ 는 velocity transformation matrix  $\Rightarrow$  embedding에서 중요

$\boldsymbol{\gamma}_i$ 는 vector이다. 항상 quadratic in the velocities이다.

위 두개의 식을 matrix로 정리하면,

$$[\mathbf{MB}_i \quad \mathbf{C}_q^T] \begin{bmatrix} \ddot{\mathbf{q}}_i \\ \boldsymbol{\lambda} \end{bmatrix} = \mathbf{Q}_e - \mathbf{M}\boldsymbol{\gamma}_i$$

## 예제 (rod, roller 2자유도)

- generalized coordinate

$$\mathbf{q}_i = [\theta^2 \quad \theta^3]^T$$

$$\begin{bmatrix} \ddot{R}_x^2 \\ \ddot{R}_y^2 \\ \ddot{\theta}^2 \\ \ddot{R}_x^3 \\ \ddot{R}_y^3 \\ \ddot{\theta}^3 \end{bmatrix} = \begin{bmatrix} -\frac{l}{2} \sin \theta^2 & 0 \\ \frac{l}{2} \cos \theta^2 & 0 \\ 1 & 0 \\ -l \sin \theta^2 & 0 \\ l \cos \theta^2 & 0 \\ 0 & 1 \end{bmatrix} \begin{bmatrix} \ddot{\theta}^2 \\ \ddot{\theta}^3 \end{bmatrix} + (\dot{\theta}^2)^2 l \begin{bmatrix} -\frac{1}{2} \cos \theta^2 \\ -\frac{1}{2} \sin \theta^2 \\ 0 \\ -\cos \theta^2 \\ -\sin \theta^2 \\ 0 \end{bmatrix} \quad \mathbf{B}_i = \begin{bmatrix} -\frac{l}{2} \sin \theta^2 & 0 \\ \frac{l}{2} \cos \theta^2 & 0 \\ 1 & 0 \\ -l \sin \theta^2 & 0 \\ l \cos \theta^2 & 0 \\ 0 & 1 \end{bmatrix}, \quad \boldsymbol{\gamma}_i = (\dot{\theta}^2)^2 l \begin{bmatrix} -\frac{1}{2} \cos \theta^2 \\ -\frac{1}{2} \sin \theta^2 \\ 0 \\ -\cos \theta^2 \\ -\sin \theta^2 \\ 0 \end{bmatrix}$$

#### ▼ 4.7 Embedding Technique / 195

- Embedding Technique (결과 식이 시스템의 DOF의 수와 같음) 즉, any constraint force를 포함하지 않음.

아래 식이 성립함

$$\begin{bmatrix} \mathbf{B}_i^T \mathbf{M} \mathbf{B}_i & \mathbf{B}_i^T \mathbf{C}_q^T \end{bmatrix} \begin{bmatrix} \ddot{\mathbf{q}}_i \\ \boldsymbol{\lambda} \end{bmatrix} = \mathbf{B}_i^T \mathbf{Q}_e - \mathbf{B}_i^T \mathbf{M} \boldsymbol{\gamma}_i$$

- 정리된 embedding technique 식 ( $M_i, \ddot{q}_i, Q_i$ 에 대해서 나타냄.)

$$\mathbf{M}_i \ddot{\mathbf{q}}_i = \mathbf{Q}_i$$

$M_i$ 는 generalized inertia matrix

$\ddot{q}_i$  는 generalized coordinate

$Q_i$ 는 vector of generalized forces with DOF

where

$$\mathbf{M}_i = \mathbf{B}_i^T \mathbf{M} \mathbf{B}_i, \quad \mathbf{Q}_i = \mathbf{B}_i^T \mathbf{Q}_e - \mathbf{B}_i^T \mathbf{M} \boldsymbol{\gamma}_i$$

- embedding technique에서 속도 transformation matrix  $B_i$ 는 중요하다고 함.  
⇒ chapter 5. virtual work에서 virtual displacement를 구하는 이유가  $B_i$ 를 구하기 위해서임.

#### ▼ 4.8 Amalgamated Formulation / 197

- 동역학 식 (어떤 방법이든 아래와 같은 식으로 EOM 만들어야 함)

$$\mathbf{M}\ddot{\mathbf{q}} = \mathbf{Q}_e + \mathbf{Q}_c$$

- 가속도 벡터를 independent acceleration의 term으로 나타내면,

$$\ddot{\mathbf{q}} = \mathbf{B}_i \ddot{\mathbf{q}}_i + \gamma_i$$

- 아래 식은 증명됨.

$$\mathbf{B}_i^T \mathbf{Q}_c = 0$$

좌측 식은 embedding technique에서 증명됨.

$$\mathbf{B}_i^T \mathbf{C}_q^T = 0$$

⇒ 위 세개의 식을 combined 하면,

$$\begin{bmatrix} \mathbf{M} & \mathbf{I} & \mathbf{0} \\ \mathbf{I} & \mathbf{0} & -\mathbf{B}_i \\ \mathbf{0} & -\mathbf{B}_i^T & \mathbf{0} \end{bmatrix} \begin{bmatrix} \ddot{\mathbf{q}} \\ -\mathbf{Q}_c \\ \ddot{\mathbf{q}}_i \end{bmatrix} = \begin{bmatrix} \mathbf{Q}_e \\ \gamma_i \\ \mathbf{0} \end{bmatrix}$$

위 matrix는 가속도와 joint반력 뿐만 아니라 독립가속도에 대해서도 풀 수 있다.

#### ▼ 4.9 Open-Chain Systems / 197 (바디나눠서 푸는 법, subsystem활용법) subsystem은 달랑베르 원리 씬. joint reaction안구해도됨

- augmented formulation은 open, closed kinematic chain이 똑같이 다뤄진다는 장점이 있음.  
원래 closed kinematic chain은 singular configuration이 발생하는 단점이 있었음.
- Open과 Closed의 차이점.
  - (1) closed분석이 더 어렵다.
  - (2) chapter 6 내용 : Lagrange multipliers의 이점이 있음.



## develop the dynamic equations of Open chain system

각 바디별 open chain system에서 dynamic condition develop하기.

### (1) 방법 1

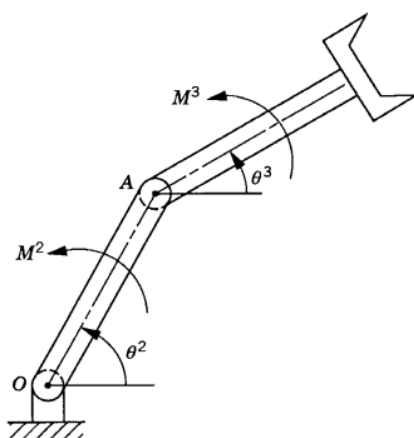
- 방정식들을 in terms of the joint reaction forces로 표현하기.
- 결과 방정식들의 수가 (시스템 DOF수+joint 반발력의 수) 와 같게 하기.

⇒ 모든 외력이 정해졌다면 (specified) 동역학 방정식 만들 때, reaction forces와 a number of unknown accelerations가 시스템의 DOF 수와 같게 해야함.

### (2) 방법 2 (minimum number of equation)

- 이번 chapter에서 나온 내용임.
- 선택한 조인트에 cut을 함. dynamic condition이 정해진 subsystem을 공식화 해서 최소 미분 방정식의 수로 계산 가능.
- joint 반력을 포함하지 않는 방정식의 수는 system의 DOF수와 같음.
- minimum number of equation은 방법 1에서 joint 반력을 제거함으로 얻을 수 있다.

## Equilibrium of the Separate Bodies



위와 같은 open-chain system (2자유도 two-arm manipulator system)이 있다.

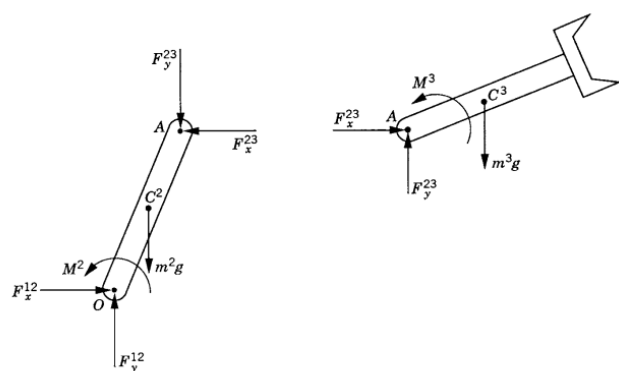


Figure 4.9 Free-body diagram

위 free-body diagram을 통해 얻을 수 있는 dynamic condition of body 2는 아래와 같다.

Body 1은 ground 또는 fixed link를 나타낸다.

Body 2는 first movable link in the manipulator를 나타낸다.

Body 3은 두 번째 움직이는 링크이다.

$$\left. \begin{aligned} F_x^{12} - F_x^{23} &= m^2 a_x^2 \\ F_y^{12} - m^2 g - F_y^{23} &= m^2 a_y^2 \\ F_x^{12} l_O^2 \sin \theta^2 - F_y^{12} l_O^2 \cos \theta^2 + M^2 + F_x^{23} l_A^2 \sin \theta^2 \\ &\quad - F_y^{23} l_A^2 \cos \theta^2 = J^2 \ddot{\theta}^2 \end{aligned} \right\}$$

Body 3의 dynamic condition은 아래와 같다.

$$\left. \begin{aligned} F_x^{23} &= m^3 a_x^3 \\ F_y^{23} - m^3 g &= m^3 a_y^3 \\ F_x^{23} l_A^3 \sin \theta^3 - F_y^{23} l_A^3 \cos \theta^3 + M^3 &= J^3 \ddot{\theta}^3 \end{aligned} \right\}$$

⇒ 이번 챕터에서는 inverse dynamics (kinematically driven system)을 공부할 것.

추가로, open 과 closed kinematic chain의 차이점을 공부할 것.

위 문제의 Body 2와 Body 3의 dynamic condition을 combine하면,

$$\begin{bmatrix} 1 & 0 & -1 & 0 & 0 & 0 \\ 0 & 1 & 0 & -1 & 0 & 0 \\ 0 & 0 & 1 & 0 & 0 & 0 \\ 0 & 0 & 0 & 1 & 0 & 0 \\ l_O^2 \sin \theta^2 & -l_O^2 \cos \theta^2 & l_A^2 \sin \theta^2 & -l_A^2 \cos \theta^2 & 1 & 0 \\ 0 & 0 & l_A^3 \sin \theta^3 & -l_A^3 \cos \theta^3 & 0 & 1 \end{bmatrix} \begin{bmatrix} F_x^{12} \\ F_y^{12} \\ F_x^{23} \\ F_y^{23} \\ M^2 \\ M^3 \end{bmatrix} = \begin{bmatrix} m^2 a_x^2 \\ m^2 a_y^2 + m^2 g \\ m^3 a_x^3 \\ m^3 a_y^3 + m^3 g \\ J^2 \ddot{\theta}^2 \\ J^3 \ddot{\theta}^3 \end{bmatrix}$$

좌측 식은  $Ax = b$ 식으로 생각할 수 있다.

$$A = \begin{bmatrix} 1 & 0 & -1 & 0 & 0 & 0 \\ 0 & 1 & 0 & -1 & 0 & 0 \\ 0 & 0 & 1 & 0 & 0 & 0 \\ 0 & 0 & 0 & 1 & 0 & 0 \\ A_{51} & A_{52} & A_{53} & A_{54} & 1 & 0 \\ 0 & 0 & A_{63} & A_{64} & 0 & 1 \end{bmatrix}$$

$$\begin{aligned} \mathbf{x} &= [F_x^{12} \ F_y^{12} \ F_x^{23} \ F_y^{23} \ M^2 \ M^3]^T \\ \mathbf{b} &= [m^2 a_x^2 \ (m^2 a_y^2 + m^2 g) \ m^3 a_x^3 \ (m^3 a_y^3 + m^3 g) \ J^2 \ddot{\theta}^2 \ J^3 \ddot{\theta}^3]^T \end{aligned}$$

$$\left. \begin{aligned} A_{51} &= l_O^2 \sin \theta^2, & A_{52} &= -l_O^2 \cos \theta^2 \\ A_{53} &= l_A^2 \sin \theta^2, & A_{54} &= -l_A^2 \cos \theta^2 \\ A_{63} &= l_A^3 \sin \theta^3, & A_{64} &= -l_A^3 \cos \theta^3 \end{aligned} \right\}$$

여기서  $l_O^i$ 와  $l_A^i$ 는 각각 link i의 질량 중심부터 점 O와 A까지의 거리이다.

위 Body들의 dynamic condition을 통해 생성된  $Ax=b$ 를  $\text{inverse}(A)$ 를 통해  $x$ 를 구할 수 있다.

$$A^{-1} = \begin{bmatrix} 1 & 0 & 1 & 0 & 0 & 0 \\ 0 & 1 & 0 & 1 & 0 & 0 \\ 0 & 0 & 1 & 0 & 0 & 0 \\ 0 & 0 & 0 & 1 & 0 & 0 \\ -A_{51} & -A_{52} & -(A_{51} + A_{53}) & -(A_{52} + A_{54}) & 1 & 0 \\ 0 & 0 & -A_{63} & -A_{64} & 0 & 1 \end{bmatrix}$$

결과적으로, solution  $x$ 벡터를 아래와 같이 구할 수 있고,  $x$ 의 아래 moment 2개의 식은  $F_x^{12}, F_y^{12}$  등의 reaction force가 포함되지 않음을 알 수 있다.

$$\left. \begin{aligned} F_x^{12} &= m^2 a_x^2 + m^3 a_x^3 \\ F_y^{12} &= m^2 a_y^2 + m^2 g + m^3 a_y^3 + m^3 g \\ F_x^{23} &= m^3 a_x^3 \\ F_y^{23} &= m^3 a_y^3 + m^3 g \\ M^2 &= J^2 \ddot{\theta}^2 - A_{51} m^2 a_x^2 - A_{52} (m^2 a_y^2 + m^2 g) - (A_{51} + A_{53}) m^3 a_x^3 \\ &\quad - (A_{52} + A_{54}) (m^3 a_y^3 + m^3 g) \\ M^3 &= J^3 \ddot{\theta}^3 - A_{63} m^3 a_x^3 - A_{64} (m^3 a_y^3 + m^3 g) \end{aligned} \right\}$$

## Equilibrium of the Subsystem

- open chain system의 서브시스템 특성을 활용하면, 위 결과 식 마지막 2개의 Moment식을 internal reaction force를 구하지 않고 구할 수 있음.

[예시]

위 open-chain system의 링크 3번 팔

- system의 The moment of external force and moment.  $\Rightarrow$  외력과 외부 모멘트에 의해 생긴 총 외부 모멘트

$$M_e = M^3 - m^3 g l_A^3 \cos \theta^3$$

- moment of inertia about A

$$M_i = -m^3 a_x^3 l_A^3 \sin \theta^3 + m^3 a_y^3 l_A^3 \cos \theta^3 + J^3 \ddot{\theta}^3$$

- 달랑베르 원리 (inertia moment = moment of the applied force) (internal이 아닌 inertia임)

$$M^3 - m^3 g l_A^3 \cos \theta^3 = -m^3 a_x^3 l_A^3 \sin \theta^3 + m^3 a_y^3 l_A^3 \cos \theta^3 + J^3 \ddot{\theta}^3$$

Link 3이므로, 3의 moment에 대해 정리하면,

$$M^3 = J^3 \ddot{\theta}^3 - m^3 a_x^3 l_A^3 \sin \theta^3 + (m^3 a_y^3 + m^3 g) l_A^3 \cos \theta^3$$

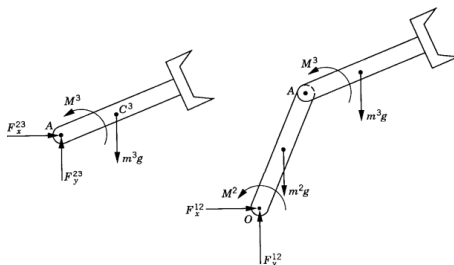


Figure 4.10 Equilibrium of the subsystems

기존은 좌측처럼 subsystem 하나씩 분해해서 계산함.

$\Rightarrow$  internal force 계산 필요

그러나 subsystem의 평형 원리를 이용하면 internal force를 계산하지 않고 solution 구하기 가능.

- external force and moment

$$M_e = M^2 + M^3 - m^2 g l_O^2 \cos \theta^2 - m^3 g (l^2 \cos \theta^2 + l_A^3 \cos \theta^3)$$

- moment of the inertia force and moment about O

$$M_i = J^2 \ddot{\theta}^2 + J^3 \ddot{\theta}^3 - m^2 a_x^2 l_O^2 \sin \theta^2 + m^2 a_y^2 l_O^2 \cos \theta^2 \\ - m^3 a_x^3 (l^2 \sin \theta^2 + l_A^3 \sin \theta^3) + m^3 a_y^3 (l^2 \cos \theta^2 + l_A^3 \cos \theta^3)$$

[결과]

위 두식에서 dynamic equilibrium condition for this subsystem을 구함.

$$M^2 + M^3 - m^2 g l_O^2 \cos \theta^2 - m^3 g (l^2 \cos \theta^2 + l_A^3 \cos \theta^3) \\ = J^2 \ddot{\theta}^2 + J^3 \ddot{\theta}^3 - m^2 a_x^2 l_O^2 \sin \theta^2 + m^2 a_y^2 l_O^2 \cos \theta^2 \\ - m^3 a_x^3 (l^2 \sin \theta^2 + l_A^3 \sin \theta^3) + m^3 a_y^3 (l^2 \cos \theta^2 + l_A^3 \cos \theta^3)$$

[정리]

$$M^2 + M^3 = J^2 \ddot{\theta}^2 + J^3 \ddot{\theta}^3 - m^2 a_x^2 l_O^2 \sin \theta^2 + (m^2 a_y^2 + m^2 g) l_O^2 \cos \theta^2 \\ - m^3 a_x^3 (l^2 \sin \theta^2 + l_A^3 \sin \theta^3) + (m^3 a_y^3 + m^3 g) \\ \cdot (l^2 \cos \theta^2 + l_A^3 \cos \theta^3)$$

즉, 2자유도계 시스템의 dynamic condition 을 나타낸 것이다.

2자유도계는 2unknown 2equation이 생긴다.

[예시1]에서  $M^3$ 의 식, [결과]에서  $M^2 + M^3$ 식을 도출했으므로 둘을 연립하여  $M^2$ 를 구할 수 있다.

$$M^2 = J^2 \ddot{\theta}^2 - m^2 a_x^2 l_O^2 \sin \theta^2 + (m^2 a_y^2 + m^2 g) l_O^2 \cos \theta^2 \\ - m^3 a_x^3 l^2 \sin \theta^2 + (m^3 a_y^3 + m^3 g) l^2 \cos \theta^2$$

## 결론

방법 1은 Equilibrium of separate bodies 를 사용함.

바디를 나누므로 joint reaction force가 생겨 internal force를 계산해줘야함.

방법 2는 Equilibrium of the Subsystem으로

달랑베르 원리를 이용해 전체 inertia moment = 전체 applied force moment이므로 반력과 내력 계산을 하지 않아도 됨.

전체 모멘트는 force+moment로 계산 됨.

결론은, 방법 1이든 2이든 결과 식은 같다.

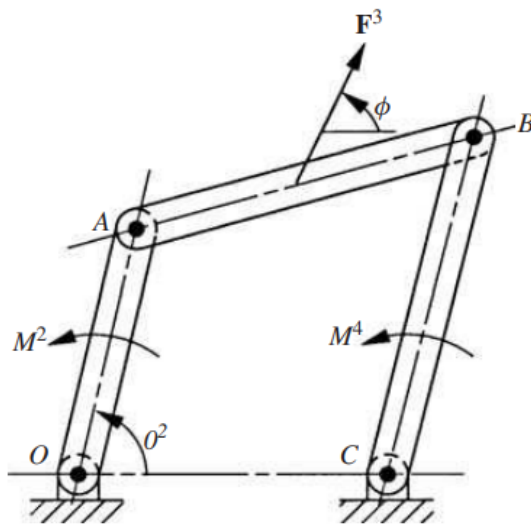
- 방법 2는 recursive method의 근간이 됨. (open kinematic system 분석법으로 joint 반력을 제거함)
- 방법 2는 아니지만 그 과정 중 inertia moment=applied force moment ( $M_e = M_i$ ) 식은 virtual work의 근간이 됨.

#### ▼ 4.10 Closed-Chain Systems / 203 open과 다른점

### Equilibrium of the separate bodies

- body 나눠서 계산 시, [방정식 수=reaction force의 수 + 시스템의 DOF] 이다.

[예시]



좌측 커플러의 dynamic equations는 아래와 같다.

$$\left. \begin{aligned} F_x^{23} + F_x^3 - F_x^{34} &= m^3 a_x^3 \\ F_y^{23} - m^3 g + F_y^3 - F_y^{34} &= m^3 a_y^3 \\ F_x^{23} l_A^3 \sin \theta^3 - F_y^{23} l_A^3 \cos \theta^3 + F_x^{34} l_B^3 \sin \theta^3 - F_y^{34} l_B^3 \cos \theta^3 &= J^3 \ddot{\theta}^3 \end{aligned} \right\}$$

where  $F_x^3$  and  $F_y^3$  are the components of the external force vector  $\mathbf{F}^3$ .

closed-chain mechanisms에 외력  $F^3$ 이 작용함.

$M^4$ 가 작용하는 rocket의 dynamic equation은 아래와 같다.

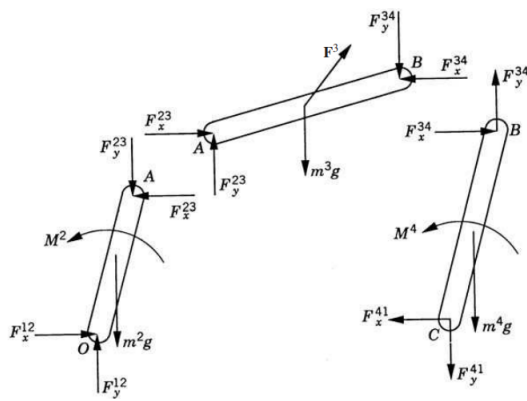


Figure 4.12 Free-body diagrams

$$\left. \begin{aligned} F_x^{34} - F_x^{41} &= m^4 a_x^4 \\ F_y^{34} - m^4 g - F_y^{41} &= m^4 a_y^4 \\ F_x^{34} l_B^4 \sin \theta^4 - F_y^{34} l_B^4 \cos \theta^4 + M^4 + F_x^{41} l_C^4 \sin \theta^4 - F_y^{41} l_C^4 \cos \theta^4 &= J^4 \ddot{\theta}^4 \end{aligned} \right\}$$

4절 기구의 dynamic conditions는 9개의 방정식과 9개의 미지수가 생긴다.

8개는 joint에서 반발력 (reaction force)

위의 총 9개의 식을 정리하면 우측과 같다.

$$\begin{bmatrix} 1 & 0 & -1 & 0 & 0 & 0 & 0 & 0 & 0 & 0 \\ 0 & 1 & 0 & -1 & 0 & 0 & 0 & 0 & 0 & 0 \\ 0 & 0 & 1 & 0 & -1 & 0 & 0 & 0 & 0 & 0 \\ 0 & 0 & 0 & 1 & 0 & -1 & 0 & 0 & 0 & 0 \\ 0 & 0 & 0 & 0 & 1 & 0 & -1 & 0 & 0 & 0 \\ 0 & 0 & 0 & 0 & 0 & 1 & 0 & -1 & 0 & 0 \\ A_{71} & A_{72} & A_{73} & A_{74} & 0 & 0 & 0 & 0 & 0 & 0 \\ 0 & 0 & A_{83} & A_{84} & A_{85} & A_{86} & 0 & 0 & 0 & 0 \\ 0 & 0 & 0 & 0 & 0 & A_{95} & A_{96} & A_{97} & A_{98} & 1 \end{bmatrix} \begin{bmatrix} F_x^{12} \\ F_y^{12} \\ F_x^{23} \\ F_y^{23} \\ F_x^{34} \\ F_y^{34} \\ F_x^{41} \\ F_y^{41} \\ M^4 \end{bmatrix} = \begin{bmatrix} m^2 a_x^2 \\ m^2 a_y^2 + m^2 g \\ m^3 a_x^3 - F_x^{23} \\ m^3 a_y^3 + m^3 g - F_y^{23} \\ m^4 a_x^4 \\ m^4 a_y^4 + m^4 g \\ J^2 \ddot{\theta}^2 - M^2 \\ J^3 \ddot{\theta}^3 \\ J^4 \ddot{\theta}^4 \end{bmatrix}$$

where

$$\left. \begin{aligned} A_{71} &= l_O^2 \sin \theta^2, & A_{72} &= -l_O^2 \cos \theta^2 \\ A_{73} &= l_A^2 \sin \theta^2, & A_{74} &= -l_A^2 \cos \theta^2 \\ A_{83} &= l_A^3 \sin \theta^3, & A_{84} &= -l_A^3 \cos \theta^3 \\ A_{85} &= l_B^3 \sin \theta^3, & A_{86} &= -l_B^3 \cos \theta^3 \\ A_{95} &= l_B^4 \sin \theta^4, & A_{96} &= -l_B^4 \cos \theta^4 \\ A_{97} &= l_C^4 \sin \theta^4, & A_{98} &= -l_C^4 \cos \theta^4 \end{aligned} \right\}$$

(바디를 나눠서 풀므로 joint 반발력을 계산함)

이때 좌측의 결과 matrix 는

$Ax = b$ 와 같이 쓸 수 있다.

solution은  $x$  벡터는

$x = A^{-1}b$ 로 계산할 수 있다.

## Equilibrium of the Subsystem

이전, open-chain에서는, 아래 식처럼 joint 식으로 방정식 수를 줄였음.  $\Rightarrow$  예시 외력이 작용하는 open-chain system

## Equation 1

$$F_x^{12} l^2 \sin \theta^2 - F_y^{12} l^2 \cos \theta^2 + M^2 + m^2 g l_A^2 \cos \theta^2 \\ = J^2 \ddot{\theta}^2 + m^2 a_x^2 l_A^2 \sin \theta^2 - m^2 a_y^2 l_A^2 \cos \theta^2$$

추가로, equilibrium of the subsystem을 연구하면서 아래 식을 얻을 수 있었다.

$$F_x^{12} (l^2 \sin \theta^2 + l^3 \sin \theta^3) - F_y^{12} (l^2 \cos \theta^2 + l^3 \cos \theta^3) + M^2 \\ + m^2 g (l_A^2 \cos \theta^2 + l^3 \cos \theta^3) + F_x^3 l_B^3 \sin \theta^3 \\ + (m^3 g - F_y^3) l_B^3 \cos \theta^3$$

위를 정리하면,

## Equation 2

$$F_x^{12} l^3 \sin \theta^3 - F_y^{12} l^3 \cos \theta^3 + m^2 g l^3 \cos \theta^3 + F_x^3 l_B^3 \sin \theta^3 \\ + (m^3 g - F_y^3) l_B^3 \cos \theta^3 \\ = m^2 a_x^2 l^3 \sin \theta^3 - m^2 a_y^2 l^3 \cos \theta^3 + J^3 \ddot{\theta}^3 + m^3 a_x^3 l_B^3 \sin \theta^3 \\ - m^3 a_y^3 l_B^3 \cos \theta^3$$

마지막 세번째 방정식, 외부 Moment도 추가로 작용하므로 Moment에 대한 식도 구해지면,

$$-F_y^{12} l^1 + M^2 + m^2 g (l_A^2 \cos \theta^2 + l^3 \cos \theta^3 + l^4 \cos \theta^4) \\ + F_x^3 (l_B^3 \sin \theta^3 + l^4 \sin \theta^4) + (m^3 g - F_y^3) (l_B^3 \cos \theta^3 + l^4 \cos \theta^4) \\ + M^4 + m^4 g l_C^4 \cos \theta^4 \\ = J^2 \ddot{\theta}^2 + m^2 a_x^2 (l_A^2 \sin \theta^2 + l^3 \sin \theta^3 + l^4 \sin \theta^4) \\ - m^2 a_y^2 (l_A^2 \cos \theta^2 + l^3 \cos \theta^3 + l^4 \cos \theta^4) + J^3 \ddot{\theta}^3 \\ + m^3 a_x^3 (l_B^3 \sin \theta^3 + l^4 \sin \theta^4) \\ - m^3 a_y^3 (l_B^3 \cos \theta^3 + l^4 \cos \theta^4) + J^4 \ddot{\theta}^4 + m^4 a_x^4 l_C^4 \sin \theta^4 \\ - m^4 a_y^4 l_C^4 \cos \theta^4$$

where

$$l^1 = l^2 \cos \theta^2 + l^3 \cos \theta^3 + l^4 \cos \theta^4$$

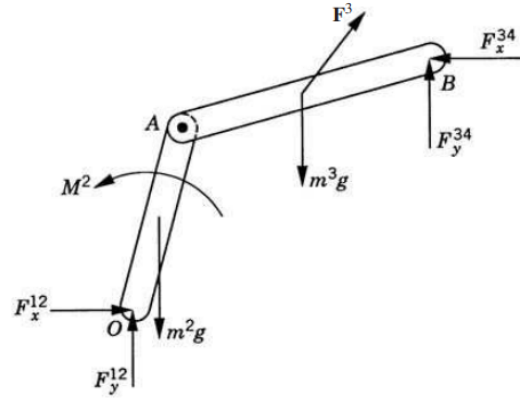
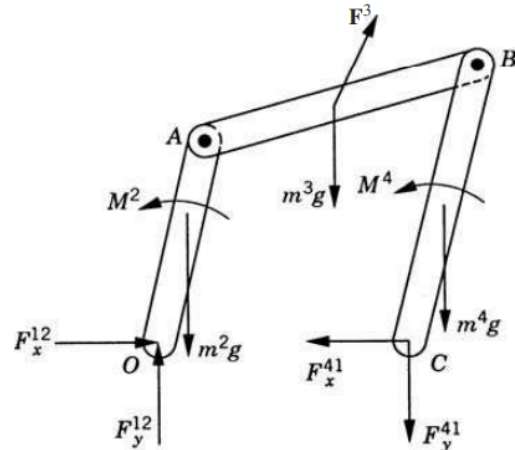


Figure 4.13 Equilibrium of two bodies

Closed-chain system에서 2개의 바디만 떼서 본 것



3개의 바디를 한번에 본 것.



$M^2$ 와  $M^3$ 을 구한 2개의 moment equations에 따라 위 마지막 세 번째 방정식에 대입해주면,  
아래와 같이 요약된다.

### Equation 3

$$\begin{aligned} & F_x^{12} l^4 \sin \theta^4 + (m^2 g - F_y^{12}) l^4 \cos \theta^4 + F_x^{34} l^4 \sin \theta^4 \\ & + (m^3 g - F_y^{34}) l^4 \cos \theta^4 + M^4 + m^4 g l_C^4 \cos \theta^4 \\ & = (m^2 a_x^2 + m^3 a_x^3) l^4 \sin \theta^4 - (m^2 a_y^2 + m^3 a_y^3) l^4 \cos \theta^4 \\ & + J^4 \ddot{\theta}^4 + m^4 a_x^4 l_C^4 \sin \theta^4 - m^4 a_y^4 l_C^4 \cos \theta^4 \end{aligned}$$

## 결과

- 위 색칠된 3개의 Equation에 대해, 3개의 unknowns으로 solve될 수 있다.

2개의 reaction force  $F_x^{12}, F_y^{12}$ , 1 개의 external moment  $M^4$

- 같은 방식을 사용하여 다른 조합도 나타낼 수 있다.

$F_y^{12}$  and the external moment  $M^4$ . Using a similar procedure, another set of three equations in terms of  $F_x^{23}, F_y^{23}$ , and  $M^4$ , or in terms of  $F_x^{34}, F_y^{34}$ , and  $M^4$ , or in terms of  $F_x^{41}, F_y^{41}$ , and  $M^4$  can be obtained. It is clear, however, that unlike the case of open kinematic chains

- open kinematic chain system과 다른점.

The equilibrium conditions of the subsystems of closed kinematic chain은

⇒ 조인트 반력 (reaction force)를 포함하는 방정식들을 갖는다.

- secondary joint 법

위 예제에서, closed system을 자른 사진이 있음. ⇒ 자르면 open system이 됨.

자른 점을 secondary joint라고 함.

거기서 얻은 open chain의 EOM과 augmented한 방정식들은 closed-chain을 정의하는데 도움을 줌. (chapter 6에서 자세히)

dependent variable 종속변수가 algebraic constraint equations of the secondary joint로 제거될 수 있음.

#### ▼ 4.11 Concluding Remarks / 209

- dynamic EOM의 서로 다른 Form을 developed 해봄. (Newtonian mechanics)
- Computational dynamics에서는 2개의 form을 크게 다룸.
  - (1) Augmented formulation
  - (2) Embedding technique
- Augmented formulation
  - (1) redundant set of coordinate임.  $\Rightarrow$  복잡한 계산할 때 좋음
  - (2) redundancy때문에, coordinate가 구속방정식과 종속임.  
즉, augmented에 쓰인 종속coordinate의 수가독립 constraint force의 수와 같다.
  - (3) EOM, 구속방정식, 방정식 수=미지수의 수 라는 점을 이용해 문제를 해결한다.
  - (4) Augmented fomulation의 결과는 sparse matrix이다. (0이 많다.) 그리고 일반적인 목적의 multibody computer program할 때 좋음.
  - (5) 차원 문제점이 생김. matrix가 엄청커서, 복잡한 수치 알고리즘이 필요함.
- Embedding Technique
  - (1) 시스템 가속도 벡터를 독립 가속도 term으로만 나타냄.  $\Rightarrow$  velocity transformation matrix 사용
  - (2) kinematic과의 관련은 minimum set of differential equations이다. (독립가속도로만 나타내기)
  - (3) constraint force의 제거로 증명됨
- 다음단원

virtual work : constraint force를 시스템적으로 제거하는 법

minimum set of differential EOM을 얻는 법

